

Agujeros de gusanos dinámicos soportados por energía fantasma politrópica

Sebastián Bahamonde Beltrán

Universidad de Concepción, Concepción.

COSMOCONCE 2013
Concepción, Marzo, 2013

Índice

- 1 Introducción
- 2 Agujeros de gusanos dinámicos politrópicos
 - Modelo
 - Ecuaciones de campo y soluciones
- 3 Conclusiones

Concepto de Agujero de Gusano

Es un hipotético túnel cósmico o atajo a través del espacio-tiempo, descrito como una solución de las ecuaciones de campo de Einstein. Teóricamente están constituidos por, al menos, dos extremos (bocas), conectados por una garganta, a través de la cual viajaría la materia, si éste pudiese ser atravesado.

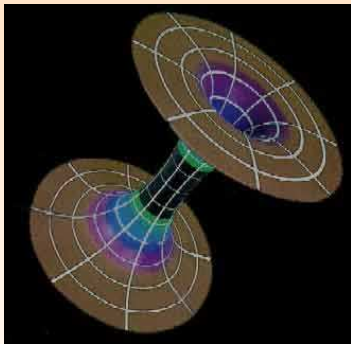


Figura : Agujero de gusano

Agujeros de Gusano Atravesables

- Son un tipo de agujero de gusano que para existir debe estar soportado por una fuente exótica de materia con presión negativa grande. (usualmente)
- Candidatos posibles para soportarlos son la materia fantasma o una constante cosmológica.
- Otra característica es que no poseen Horizontes ($g_{tt} \neq 0$), permitiendo atravesarlos en ambos sentidos.
- Pueden ser estáticos o dependientes del tiempo.

Agujeros de Gusano Atravesables

- Son un tipo de agujero de gusano que para existir debe estar soportado por una fuente exótica de materia con presión negativa grande. (usualmente)
- Candidatos posibles para soportarlos son la materia fantasma o una constante cosmológica.
- Otra característica es que no poseen Horizontes ($g_{tt} \neq 0$), permitiendo atravesarlos en ambos sentidos.
- Pueden ser estáticos o dependientes del tiempo.

Agujeros de Gusano Atravesables

- Son un tipo de agujero de gusano que para existir debe estar soportado por una fuente exótica de materia con presión negativa grande. (usualmente)
- Candidatos posibles para soportarlos son la materia fantasma o una constante cosmológica.
- Otra característica es que no poseen Horizontes($g_{tt} \neq 0$), permitiendo atravesarlos en ambos sentidos.
- Pueden ser estáticos o dependientes del tiempo.

Agujeros de Gusano Atravesables

- Son un tipo de agujero de gusano que para existir debe estar soportado por una fuente exótica de materia con presión negativa grande. (usualmente)
- Candidatos posibles para soportarlos son la materia fantasma o una constante cosmológica.
- Otra característica es que no poseen Horizontes($g_{tt} \neq 0$), permitiendo atravesarlos en ambos sentidos.
- Pueden ser estáticos o dependientes del tiempo.

Agujero de Gusano intra-universo

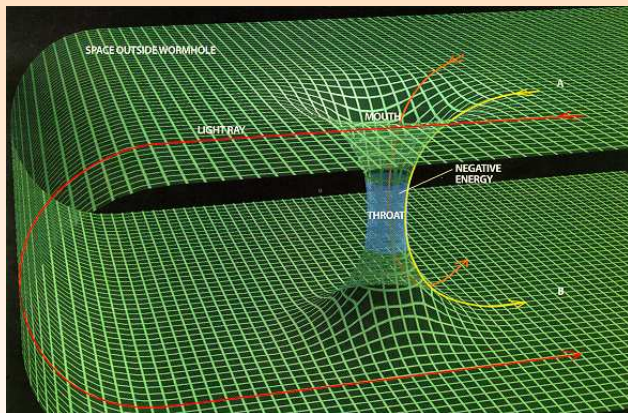


Figura : Representación de un agujero de gusano intra-universo.

Relatividad General

En nuestra investigación utilizamos la Teoría General de la Relatividad, regida por las ecuaciones de campo de Einstein con constante cosmológica:

Ecuación de campo de Einstein

$$R_{\mu\nu} - \frac{1}{2}Rg_{\mu\nu} = \kappa T_{\mu\nu} - \Lambda g_{\mu\nu}, \quad (1)$$

Con la signatura $(-, +, +, +)$, la velocidad de la luz igual a la unidad ($c = 1$) y $\kappa = 8\pi G$

Índice

- 1 Introducción
- 2 **Agujeros de gusanos dinámicos politrópicos**
 - **Modelo**
 - Ecuaciones de campo y soluciones
- 3 Conclusiones

Modelo utilizado en nuestra investigación

Consideraremos que el agujero de gusano posee las siguientes características:

- Es dinámico.
- Se encuentra en un espacio de N dimensiones.
- Está soportado por materia inhomogénea y anisótropa, que está caracterizada por una ecuación de estado politrópica $p_r(r) = \omega\rho^\gamma$.
- No hay presencia de fuerzas de marea, es decir, $\Phi(r) = 0$

Modelo utilizado en nuestra investigación

Consideraremos que el agujero de gusano posee las siguientes características:

- Es dinámico.
- Se encuentra en un espacio de N dimensiones.
- Está soportado por materia inhomogénea y anisótropa, que está caracterizada por una ecuación de estado politrópica $p_r(r) = \omega\rho^\gamma$.
- No hay presencia de fuerzas de marea, es decir, $\Phi(r) = 0$

Modelo utilizado en nuestra investigación

Consideraremos que el agujero de gusano posee las siguientes características:

- Es dinámico.
- Se encuentra en un espacio de N dimensiones.
- Está soportado por materia inhomogénea y anisótropa, que está caracterizada por una ecuación de estado politrópica $p_r(r) = \omega\rho^\gamma$.
- No hay presencia de fuerzas de marea, es decir, $\Phi(r) = 0$

Modelo utilizado en nuestra investigación

Consideraremos que el agujero de gusano posee las siguientes características:

- Es dinámico.
- Se encuentra en un espacio de N dimensiones.
- Está soportado por materia inhomogénea y anisótropa, que está caracterizada por una ecuación de estado politrópica $p_r(r) = \omega\rho^\gamma$.
- No hay presencia de fuerzas de marea, es decir, $\Phi(r) = 0$

Métrica de Morris & Thorne

- La métrica que describe el espacio-tiempo de un agujero de gusano estático está dado por la métrica de Morris y Thorne de Ref. [1]:

Métrica de Morris & Thorne

$$ds^2 = -e^{\Phi(r)} dt^2 + \frac{dr^2}{1 - \frac{b(r)}{r}} + d\Omega^2, \quad (2)$$

donde $\Phi(r)$ es la función redshift, $b(r)$ la función de forma y $d\Omega^2 = r^2(d\theta^2 + \sin^2\theta d\phi^2)$ con r, θ, ϕ las coordenadas esféricas y t la coordenada temporal.

Métrica de Morris & Thorne

- La métrica que describe el espacio-tiempo de un agujero de gusano estático está dado por la métrica de Morris y Thorne de Ref. [1]:

Métrica de Morris & Thorne

$$ds^2 = -e^{\Phi(r)} dt^2 + \frac{dr^2}{1 - \frac{b(r)}{r}} + d\Omega^2, \quad (2)$$

donde $\Phi(r)$ es la función redshift, $b(r)$ la función de forma y $d\Omega^2 = r^2(d\theta^2 + \sin^2\theta d\phi^2)$ con r, θ, ϕ las coordenadas esféricas y t la coordenada temporal.

Condiciones de transitabilidad

Para que el agujero de gusano sea atravesable $\Phi(r)$ y $b(r)$ deben cumplir:

- $\Phi(r)$ debe ser finito en todo el espacio (ausencia de horizonte y singularidades).
- $b(r = r_0) = r_0$, en la garganta.
- $b(r)/r \leq 1$,
- Si $r \rightarrow \infty$ entonces $b(r)/r \rightarrow 0$ para obtener asintóticamente un espacio-tiempo Minkowskiano.

Condiciones de transitabilidad

Para que el agujero de gusano sea atravesable $\Phi(r)$ y $b(r)$ deben cumplir:

- $\Phi(r)$ debe ser finito en todo el espacio (ausencia de horizonte y singularidades).
- $b(r = r_0) = r_0$, en la garganta.
- $b(r)/r \leq 1$,
- Si $r \rightarrow \infty$ entonces $b(r)/r \rightarrow 0$ para obtener asintóticamente un espacio-tiempo Minkowskiano.

Condiciones de transitabilidad

Para que el agujero de gusano sea atravesable $\Phi(r)$ y $b(r)$ deben cumplir:

- $\Phi(r)$ debe ser finito en todo el espacio (ausencia de horizonte y singularidades).
- $b(r = r_0) = r_0$, en la garganta.
- $b(r)/r \leq 1$,
- Si $r \rightarrow \infty$ entonces $b(r)/r \rightarrow 0$ para obtener asintóticamente un espacio-tiempo Minkowskiano.

Condiciones de transitabilidad

Para que el agujero de gusano sea atravesable $\Phi(r)$ y $b(r)$ deben cumplir:

- $\Phi(r)$ debe ser finito en todo el espacio (ausencia de horizonte y singularidades).
- $b(r = r_0) = r_0$, en la garganta.
- $b(r)/r \leq 1$,
- Si $r \rightarrow \infty$ entonces $b(r)/r \rightarrow 0$ para obtener asintóticamente un espacio-tiempo Minkowskiano.

Métrica de Morris & Thorne dinámica

- Para describir el espacio-tiempo de un agujero de gusano dinámico N dimensional debemos generalizar la métrica anterior a:

Métrica generalizada

$$ds^2 = -e^{-2\Phi(r,t)} dt^2 + a^2(t) \left[\frac{dr^2}{1 - \frac{b(r)}{r}} + r^2 d\Omega_{N-1}^2 \right], \quad (3)$$

donde $a(t)$ es el factor de escala del Universo. Si $\Phi(r,t) \rightarrow 0$ y $b(r) \rightarrow 0$ la métrica se transforma en la métrica de FRW plana N dimensional.

Métrica de Morris & Thorne dinámica

- Para describir el espacio-tiempo de un agujero de gusano dinámico N dimensional debemos generalizar la métrica anterior a:

Métrica generalizada

$$ds^2 = -e^{-2\Phi(r,t)} dt^2 + a^2(t) \left[\frac{dr^2}{1 - \frac{b(r)}{r}} + r^2 d\Omega_{N-1}^2 \right], \quad (3)$$

donde $a(t)$ es el factor de escala del Universo. Si $\Phi(r,t) \rightarrow 0$ y $b(r) \rightarrow 0$ la métrica se transforma en la métrica de FRW plana N dimensional.

Métrica en término de las bases ortonormales

Podemos escribir la métrica anterior de la siguiente forma:

$$ds^2 = -\theta^{(t)}\theta^{(t)} + \theta^{(r)}\theta^{(r)} + \sum_{i=1}^{N-1} \theta^{(\theta_i)}\theta^{(\theta_i)}, \quad (4)$$

con $\theta^{(\mu)}$ las bases ortonormales de primera forma dadas por:

$$\theta^{(t)} = e^{\Phi(r,t)} dt, \quad (5)$$

$$\theta^{(r)} = a(t) \frac{dr}{\sqrt{1 - \frac{b(r)}{r}}}, \quad (6)$$

$$\theta^{(\theta_1)} = a(t) r d\theta_1, \quad (7)$$

$$\theta^{(\theta_2)} = a(t) r \sin \theta_1 d\theta_2, \quad (8)$$

$$\theta^{(\theta_{N-1})} = a(t) r \prod_{i=1}^{N-2} \sin \theta_i d\theta_{N-1}. \quad (9)$$

Fuente de materia

- Consideraremos la fuente de materia descrita como un fluido inhomogéneo y anisótropo.
- El Tensor energía momentum en las bases ortonormales tendrá sólo componentes en la diagonal:

Tensor energía momentum

$$T_{(t)(t)} = \rho(t, r), \quad (10)$$

$$T_{(r)(r)} = p_r(t, r) \quad (11)$$

$$T_{(\theta)(\theta)} = T_{(\phi)(\phi)} = p_l(t, r), \quad (12)$$

donde $p_r(r, t)$ y $p_l(r, t)$ son la presión radial y lateral respectivamente y $\rho(t, r)$ la densidad de energía de un fluido para un observador que se mantiene en reposo a $r, \theta^{(\mu)}$.

Fuente de materia

- Consideraremos la fuente de materia descrita como un fluido inhomogéneo y anisótropo.
- El Tensor energía momentum en las bases ortonormales tendrá sólo componentes en la diagonal:

Tensor energía momentum

$$T_{(t)(t)} = \rho(t, r), \quad (10)$$

$$T_{(r)(r)} = p_r(t, r) \quad (11)$$

$$T_{(\theta)(\theta)} = T_{(\phi)(\phi)} = p_l(t, r), \quad (12)$$

donde $p_r(r, t)$ y $p_l(r, t)$ son la presión radial y lateral respectivamente y $\rho(t, r)$ la densidad de energía de un fluido para un observador que se mantiene en reposo a $r, \theta^{(\mu)}$.

Fuente de materia

- Consideraremos la fuente de materia descrita como un fluido inhomogéneo y anisótropo.
- El Tensor energía momentum en las bases ortonormales tendrá sólo componentes en la diagonal:

Tensor energía momentum

$$T_{(t)(t)} = \rho(t, r), \quad (10)$$

$$T_{(r)(r)} = p_r(t, r) \quad (11)$$

$$T_{(\theta)(\theta)} = T_{(\phi)(\phi)} = p_l(t, r), \quad (12)$$

donde $p_r(r, t)$ y $p_l(r, t)$ son la presión radial y lateral respectivamente y $\rho(t, r)$ la densidad de energía de un fluido para un observador que se mantiene en reposo a $r, \theta^{(\mu)}$.

Fuente de materia

- Consideraremos que la densidad de energía puede separarse como:

$$\rho_r(t, r) = \rho_w(r)\rho_c(t). \quad (13)$$

- También consideraremos que la presión radial obedece una ecuación de estado politrópica de la siguiente forma:

$$p_r(t, r) = \omega\rho_c(t)\rho_w^\gamma(r), \quad (14)$$

donde ω es el parámetro de estado y γ el índice politrópico.

- La ecuación anterior implica que la presión lateral se pueda dividir también como:

$$p_l(t, r) = p_{lc}(t)p_{lw}(r). \quad (15)$$

Fuente de materia

- Consideraremos que la densidad de energía puede separarse como:

$$\rho_r(t, r) = \rho_w(r)\rho_c(t). \quad (13)$$

- También consideraremos que la presión radial obedece una ecuación de estado politrópica de la siguiente forma:

$$p_r(t, r) = \omega\rho_c(t)\rho_w^\gamma(r), \quad (14)$$

donde ω es el parámetro de estado y γ el índice politrópico.

- La ecuación anterior implica que la presión lateral se pueda dividir también como:

$$p_l(t, r) = p_{lc}(t)p_{lw}(r). \quad (15)$$

Fuente de materia

- Consideraremos que la densidad de energía puede separarse como:

$$\rho_r(t, r) = \rho_w(r)\rho_c(t). \quad (13)$$

- También consideraremos que la presión radial obedece una ecuación de estado politrópica de la siguiente forma:

$$p_r(t, r) = \omega\rho_c(t)\rho_w^\gamma(r), \quad (14)$$

donde ω es el parámetro de estado y γ el índice politrópico.

- La ecuación anterior implica que la presión lateral se pueda dividir también como:

$$p_l(t, r) = p_{lc}(t)p_{lw}(r). \quad (15)$$

Índice

- 1 Introducción
- 2 **Agujeros de gusanos dinámicos politrópicos**
 - Modelo
 - **Ecuaciones de campo y soluciones**
- 3 Conclusiones

Ecuaciones de campo

Utilizando la condición $\Phi(r, t) = 0$, las ecuaciones de campo con constante cosmológica son

$$\frac{(N-1)}{2a^2r^3} [rb'(r) + (N-3)b(r)] + \frac{N(N-1)}{2} H^2 = \kappa \rho_w(r) \rho_c(t) + \Lambda, \quad (16)$$

$$-\frac{(N-1)(N-2)}{2} H^2 - (N-1) \frac{\ddot{a}}{a} - (N-1)(N-2) \frac{b}{2r^3a^2} = \kappa \omega \rho_w^\gamma(r) \rho_c(t) - \Lambda, \quad (17)$$

$$-\frac{(N-1)(N-2)}{2} H^2 - (N-1) \frac{\ddot{a}}{a} - \frac{(N-2)}{2r^3a^2} [rb'(r) + (N-4)b(r)] = \kappa p_{lw}(r) p_{lc}(t) - \Lambda, \quad (18)$$

donde $\kappa = 8\pi G$, $H = \dot{a}(t)/a(t)$ y las primas y los puntos denotan d/dr y d/dt respectivamente.

Ecuaciones de campo

- Separando las ecuaciones en su parte temporal y radial obtenemos

$$\left[\frac{N(N-1)}{2} H^2 - \Lambda \right] \rho_c^{-1}(t) = \kappa \rho_w(r) - \frac{(N-1)}{2a^2(t)\rho_c(t)r^3} [rb'(r) + (N-3)b(r)], \quad (19)$$

$$\left[\Lambda - \frac{(N-1)(N-2)}{2} H^2 - (N-1) \frac{\ddot{a}}{a} \right] \rho_c^{-1}(t) = \frac{b(r)(N-1)(N-2)}{2r^3\rho_c(t)a^2(t)} + \kappa\omega\rho_w^\gamma(r), \quad (20)$$

$$\left[\Lambda - \frac{(N-1)(N-2)}{2} H^2 - (N-1) \frac{\ddot{a}}{a} \right] p_{lc}^{-1}(t) = \frac{(N-2)(rb'(r) + (N-4)b(r))}{2r^3 p_{lc}(t) a^2(t)} + \kappa p_{lw}(r). \quad (21)$$

- Para que existan soluciones se debe cumplir

$$\rho_c(t) = \tilde{C}_1 a^{-2}(t), \quad p_{lc}(t) = \tilde{C}_2 a^{-2}(t). \quad (22)$$

Ecuaciones de campo

- Separando las ecuaciones en su parte temporal y radial obtenemos

$$\left[\frac{N(N-1)}{2} H^2 - \Lambda \right] \rho_c^{-1}(t) = \kappa \rho_w(r) - \frac{(N-1)}{2a^2(t)\rho_c(t)r^3} [rb'(r) + (N-3)b(r)], \quad (19)$$

$$\left[\Lambda - \frac{(N-1)(N-2)}{2} H^2 - (N-1) \frac{\ddot{a}}{a} \right] \rho_c^{-1}(t) = \frac{b(r)(N-1)(N-2)}{2r^3\rho_c(t)a^2(t)} + \kappa \omega \rho_w^\gamma(r), \quad (20)$$

$$\left[\Lambda - \frac{(N-1)(N-2)}{2} H^2 - (N-1) \frac{\ddot{a}}{a} \right] p_{lc}^{-1}(t) = \frac{(N-2)(rb'(r) + (N-4)b(r))}{2r^3 p_{lc}(t) a^2(t)} + \kappa p_{lw}(r). \quad (21)$$

- Para que existan soluciones se debe cumplir

$$\rho_c(t) = \tilde{C}_1 a^{-2}(t), \quad p_{lc}(t) = \tilde{C}_2 a^{-2}(t). \quad (22)$$

Ecuaciones de campo

Utilizando la condición anterior y el método de separación de variables obtenemos las ecuaciones separadas de t y r

$$\left[\frac{N(N-1)}{2} H^2 - \Lambda \right] a^2(t) = \kappa \tilde{C}_1 \rho_w(r) - \frac{(N-1)}{2r^3} [rb'(r) + (N-3)b(r)] = -3C_3, \quad (23)$$

$$\left[\Lambda - \frac{(N-1)(N-2)}{2} H^2 - (N-1) \frac{\ddot{a}}{a} \right] a^2(t) = \frac{b(r)(N-1)(N-2)}{2r^3} + \kappa \omega \tilde{C}_1 \rho_w^\gamma(r) = -Q, \quad (24)$$

$$\left[\Lambda - \frac{(N-1)(N-2)}{2} H^2 - (N-1) \frac{\ddot{a}}{a} \right] a^2(t) = \frac{(N-2)(rb'(r) + (N-4)b(r))}{2r^3} + \kappa \tilde{C}_2 p_{lw}(r) = -Q, \quad (25)$$

donde C_3 y Q son las constantes del método de separación de variables.

Soluciones

- Estudiando el caso en donde $C_3 = Q = 0$ encontramos las siguientes soluciones

Densidad de energía y presión radial

$$\rho(t, r) = \left(\frac{(N-2)r^{-N}}{-\omega\kappa} \right)^{1/\gamma} \left[F + \frac{(N-2)^{1/\gamma}}{N} \frac{\kappa^{\frac{(\gamma-1)}}{\gamma}}{(-\omega)^{1/\gamma}} r^{\frac{N(\gamma-1)}{\gamma}} \right]^{\frac{1}{(\gamma-1)}} a^{-2}(t), \quad (26)$$

$$p_r(t, r) = \omega \left(\frac{(N-2)r^{-N}}{-\omega\kappa} \right)^{1/\gamma} \left(\left[F + \frac{(N-2)^{1/\gamma}}{N} \frac{\kappa^{\frac{(\gamma-1)}}{\gamma}}{(-\omega)^{1/\gamma}} r^{\frac{N(\gamma-1)}{\gamma}} \right]^{\frac{1}{(\gamma-1)}} \right)^\gamma a^{-2}(t). \quad (27)$$

Soluciones

- Estudiando el caso en donde $C_3 = Q = 0$ encontramos las siguientes soluciones

Densidad de energía y presión radial

$$\rho(t, r) = \left(\frac{(N-2)r^{-N}}{-\omega\kappa} \right)^{1/\gamma} \left[F + \frac{(N-2)^{1/\gamma}}{N} \frac{\kappa^{\frac{(\gamma-1)}{\gamma}}}{(-\omega)^{1/\gamma}} r^{\frac{N(\gamma-1)}{\gamma}} \right]^{\frac{1}{(\gamma-1)}} a^{-2}(t), \quad (26)$$

$$p_r(t, r) = \omega \left(\frac{(N-2)r^{-N}}{-\omega\kappa} \right)^{1/\gamma} \left(\left[F + \frac{(N-2)^{1/\gamma}}{N} \frac{\kappa^{\frac{(\gamma-1)}{\gamma}}}{(-\omega)^{1/\gamma}} r^{\frac{N(\gamma-1)}{\gamma}} \right]^{\frac{1}{(\gamma-1)}} \right)^\gamma a^{-2}(t). \quad (27)$$

Soluciones

Presion lateral y función de forma

$$\begin{aligned}
 p_l(t, r) = & \frac{(N-2)r^{-N}}{(N-1)\kappa} \left(F + \frac{(N-2)^{1/\gamma}}{N} \frac{\kappa^{\frac{(\gamma-1)}{\gamma}}}{(-\omega)^{1/\gamma}} r^{\frac{N(\gamma-1)}{\gamma}} \right)^{\frac{\gamma}{(\gamma-1)}} \\
 & \times \left[\left(F + \frac{(N-2)^{1/\gamma}}{N} \frac{\kappa^{\frac{(\gamma-1)}{\gamma}}}{(-\omega)^{1/\gamma}} r^{\frac{N(\gamma-1)}{\gamma}} \right) - \right. \\
 & \left. \frac{(N-2)^{1/\gamma} \kappa^{\frac{(\gamma-1)}{\gamma}} r^{\frac{N(\gamma-1)}{\gamma}}}{(-\omega)^{1/\gamma}} \right] a^{-2}(t), \tag{28}
 \end{aligned}$$

$$b(r) = \frac{2r^{3-N}}{N-1} \left[F + \frac{(N-2)^{1/\gamma}}{N} \frac{(\kappa \tilde{C}_1)^{\frac{(\gamma-1)}{\gamma}}}{(-\omega)^{1/\gamma}} r^{\frac{N(\gamma-1)}{\gamma}} \right]^{\frac{\gamma}{(\gamma-1)}}, \tag{29}$$

donde F es una constante de integración.

Para la parte dinámica encontramos que el factor de escala (con $C_3 = Q = 0$) está dado por:

Factor de escala

$$a(t) = a_0 e^{\pm \sqrt{\frac{2\Lambda}{N(N-1)}} t}, \quad (30)$$

que corresponde a un Universo de De-Sitter N dimensional con el signo + y un universo anti de-Sitter N dimensional con el signo -.

Condiciones para agujero de gusano atravesable

- Como hemos elegido $\Phi(r, t) = 0$ no hay problema con singularidades ni horizonte.
- Imponiendo que en la garganta $b(r = r_0) = r_0$ obtenemos:

Función de forma con condición de garganta:

$$b(r) = \frac{2r^{3-N}}{N-1} \left[r_0^{\frac{(N-2)(\gamma-1)}{\gamma}} - \frac{(\kappa \tilde{C}_1)^{\frac{(\gamma-1)}{\gamma}} (N-2)^{1/\gamma}}{N(-\omega)^{1/\gamma}} \left(r_0^{\frac{N(\gamma-1)}{\gamma}} + r^{\frac{N(\gamma-1)}{\gamma}} \right) \right]^{\frac{\gamma}{(\gamma-1)}} \quad (31)$$

- Si hacemos el caso $N = 3$ recuperamos el caso de agujero de gusano de Ref. [2].

Condiciones para agujero de gusano atravesable

- Como hemos elegido $\Phi(r, t) = 0$ no hay problema con singularidades ni horizonte.
- Imponiendo que en la garganta $b(r = r_0) = r_0$ obtenemos:

Función de forma con condición de garganta

$$b(r) = \frac{2r^{3-N}}{N-1} \left[r_0^{\frac{(N-2)(\gamma-1)}{\gamma}} - \frac{(\kappa \tilde{C}_1)^{\frac{(\gamma-1)}{\gamma}} (N-2)^{1/\gamma}}{N(-\omega)^{1/\gamma}} \left(r_0^{\frac{N(\gamma-1)}{\gamma}} + r^{\frac{N(\gamma-1)}{\gamma}} \right) \right]^{\frac{\gamma}{(\gamma-1)}}. \quad (31)$$

- Si hacemos el caso $N = 3$ recuperamos el caso de agujero de gusano de Ref. [2].

Condiciones para agujero de gusano atravesable

- Como hemos elegido $\Phi(r, t) = 0$ no hay problema con singularidades ni horizonte.
- Imponiendo que en la garganta $b(r = r_0) = r_0$ obtenemos:

Función de forma con condición de garganta

$$b(r) = \frac{2r^{3-N}}{N-1} \left[r_0^{\frac{(N-2)(\gamma-1)}{\gamma}} - \frac{(\kappa\tilde{C}_1)^{\frac{(\gamma-1)}{\gamma}} (N-2)^{1/\gamma}}{N(-\omega)^{1/\gamma}} \left(r_0^{\frac{N(\gamma-1)}{\gamma}} + r^{\frac{N(\gamma-1)}{\gamma}} \right) \right]^{\frac{\gamma}{(\gamma-1)}}. \quad (31)$$

- Si hacemos el caso $N = 3$ recuperamos el caso de agujero de gusano de Ref. [2].

Condiciones para agujero de gusano atravesable

- Como hemos elegido $\Phi(r, t) = 0$ no hay problema con singularidades ni horizonte.
- Imponiendo que en la garganta $b(r = r_0) = r_0$ obtenemos:

Función de forma con condición de garganta

$$b(r) = \frac{2r^{3-N}}{N-1} \left[r_0^{\frac{(N-2)(\gamma-1)}{\gamma}} - \frac{(\kappa\tilde{C}_1)^{\frac{\gamma-1}{\gamma}} (N-2)^{1/\gamma}}{N(-\omega)^{1/\gamma}} \left(r_0^{\frac{N(\gamma-1)}{\gamma}} + r^{\frac{N(\gamma-1)}{\gamma}} \right) \right]^{\frac{\gamma}{\gamma-1}}. \quad (31)$$

- Si hacemos el caso $N = 3$ recuperamos el caso de agujero de gusano de Ref. [2].

Conclusiones

- Hemos modelado la fuente que soporta nuestro agujero de gusano como un fluido politrópico, inhomogéneo y anisótropo.
- Encontramos soluciones politrópicas, las cuáles son poco usuales en Relatividad General.
- Hemos generalizado la solución de la Ref [2], encontrando una solución para un agujero de gusano dinámico.
- También generalizamos la solución de Ref [2] para un espacio N dimensional.

Conclusiones

- Hemos modelado la fuente que soporta nuestro agujero de gusano como un fluido politrópico, inhomogéneo y anisótropo.
- Encontramos soluciones politrópicas, las cuáles son poco usuales en Relatividad General.
- Hemos generalizado la solución de la Ref [2], encontrando una solución para un agujero de gusano dinámico.
- También generalizamos la solución de Ref [2] para un espacio N dimensional.

Conclusiones

- Hemos modelado la fuente que soporta nuestro agujero de gusano como un fluido politrópico, inhomogéneo y anisótropo.
- Encontramos soluciones politrópicas, las cuáles son poco usuales en Relatividad General.
- Hemos generalizado la solución de la Ref [2], encontrando una solución para un agujero de gusano dinámico.
- También generalizamos la solución de Ref [2] para un espacio N dimensional.

Conclusiones

- Hemos modelado la fuente que soporta nuestro agujero de gusano como un fluido politrópico, inhomogéneo y anisótropo.
- Encontramos soluciones politrópicas, las cuáles son poco usuales en Relatividad General.
- Hemos generalizado la solución de la Ref [2], encontrando una solución para un agujero de gusano dinámico.
- También generalizamos la solución de Ref [2] para un espacio N dimensional.

Realización de la investigación

Esta investigación fue realizada como un trabajo en conjunto con:




- Dr. Mauricio Cataldo.
- Fernanda Aróstica.

Realización de la investigación




Esta investigación fue realizada como un trabajo en conjunto con:

- Dr. Mauricio Cataldo.
- Fernanda Aróstica.




Referencias

-  Wormholes in spacetime and their use for interstellar travel: A tool for teaching general relativity. M.S. Morris, K.S. Thorne, Am. J. Phys. **56** , 395 (1988)
-  *Wormholes supported by polytropic phantom energy* M. Jamil et al, Eur. Phys. J. C **67**, 513 (2010)
-  *Evolving Lorentzian wormholes supported by phantom matter and cosmological* M. Cataldo et al., Phys. Rev. D **79** , 024005 (2009)

Referencias

-  Wormholes in spacetime and their use for interstellar travel: A tool for teaching general relativity. M.S. Morris, K.S. Thorne, Am. J. Phys. **56** , 395 (1988)
-  *Wormholes supported by polytropic phantom energy* M. Jamil et al, Eur. Phys. J. C **67**, 513 (2010)
-  *Evolving Lorentzian wormholes supported by phantom matter and cosmological* M. Cataldo et al., Phys. Rev. D **79** , 024005 (2009)

Referencias

-  Wormholes in spacetime and their use for interstellar travel: A tool for teaching general relativity. M.S. Morris, K.S. Thorne, Am. J. Phys. **56** , 395 (1988)
-  *Wormholes supported by polytropic phantom energy* M. Jamil et al, Eur. Phys. J. C **67**, 513 (2010)
-  *Evolving Lorentzian wormholes supported by phantom matter and cosmological* M. Cataldo et al., Phys. Rev. D **79** , 024005 (2009)